

Е-912

ОБЪЕДИНЕННЫЙ
ИНСТИТУТ
ЯДЕРНЫХ
ИССЛЕДОВАНИЙ

Дубна

Р - 2546



ЛАБОРАТОРИЯ НЕЙТРОННОЙ ФИЗИКИ

В.Н. Ефимов

ОБ ОДНОМ ПРИБЛИЖЕННОМ МЕТОДЕ
В ЗАДАЧЕ ДВУХ НУКЛОНОВ

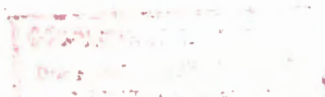
1966

P - 2546

4094/3 чф.

В.Н. Ефимов

ОБ ОДНОМ ПРИБЛИЖЕННОМ МЕТОДЕ
В ЗАДАЧЕ ДВУХ НУКЛОНОВ



§ 1. Введение

В работе ^{/1/} было указано, что для решения задач двух и трех нуклонов при малых энергиях удобно использовать хорошо известный метод решения интегральных уравнений — метод Бубнова-Галеркина ^{/2/}. Это обстоятельство связано с тем, что при малых энергиях поведение волновой функции в области действия ядерных сил определяется в основном наличием двухчастичного уровня (реального или виртуального) с небольшой энергией. В этом случае волновая функция в пределах потенциала меняется достаточно плавно (по крайней мере сильно не осциллирует) и может быть хорошо аппроксимирована степенным рядом с небольшим числом членов.

Ниже будет рассмотрено применение метода Бубнова-Галеркина к задаче двух нуклонов, взаимодействие которых описывается некоторым феноменологическим центральным потенциалом. В данном случае метод заключается в разложении волновой функции в области действия потенциала по полной системе ортогональных функций, радиальные части которых выбираются в виде полиномов, ортогональных с весом, определяемым радиальной зависимостью потенциала. Такой выбор базисных функций позволяет получить для волновой функции дейтрона и амплитуды рассеяния приближенные выражения, учитывающие малость радиуса взаимодействия относительно характеристических размеров системы. В частности, нулевое приближение соответствует замене волновой функции в области действия потенциала ее средним значением по этой области, причем решение в нулевом приближении метода Бубнова-Галеркина тождественно совпадает с точным решением уравнения Шредингера с нелокальным факторизующимся потенциалом Ямагучи ^{/3/}. В общем случае применение метода Бубнова-Галеркина в задаче двух нуклонов дает для парной t -матрицы вне энергетической поверхности приближенное факторизованное выражение, удовлетворяющее необходимым условиям симметрии и унитарности.

1. Волновая функция, описывающая рассеяние двух нуклонов, взаимодействие которых характеризуется центральным потенциалом, удовлетворяет следующему интегральному уравнению:

$$\Psi_{\vec{k}}(\vec{r}) = e^{i\vec{k}\vec{r}} + \frac{V}{(2\pi)^3} \int d\vec{p} d\vec{r}' \frac{e^{i\vec{p}(\vec{r}-\vec{r}')}}{p^2 - Z} f(r) \Psi_{\vec{k}}(\vec{r}'), \quad (1)$$

где $-Vf(r)$ - потенциал взаимодействия, \vec{k} - начальный импульс сталкивающихся нуклонов в с.ц.м., $Z = E + 10$, E - энергия в с.ц.м.^{x/}

Предположим, что функция $f(r)$, определяющая радиальную зависимость потенциала, знакопостоянна и что существует интеграл $\int d\vec{r} f(r)$. В этом случае всегда можно построить полную систему ортонормированных функций $\phi_{\mu}(\vec{r})$, удовлетворяющих условиям ортогональности:

$$\int d\vec{r} f(r) \phi_{\mu}(\vec{r}) \phi_{\mu'}^*(\vec{r}) = \delta_{\mu\mu'}, \quad (2)$$

если $\phi_{\mu}(\vec{r})$ определить следующим образом:

$$\phi_{\mu}(\vec{r}) = \phi_{\ell m \lambda}(\vec{r}) = r^{\ell} L_{\ell}^{\lambda}(r) Y_{\ell m}\left(\frac{\vec{r}}{r}\right), \quad (3)$$

где $Y_{\ell m}$ - сферические функции, $L_{\ell}^{\lambda}(r)$ - ортогональные полиномы порядка λ ($\lambda = 0, 1, 2, \dots$), для которых имеют место соотношения ортонормированности:

$$\int_0^{\infty} r^2 dr f(r) r^{2\ell} L_{\ell}^{\lambda}(r) L_{\ell}^{\lambda'}(r) = \delta_{\lambda\lambda'}, \quad (4)$$

Следуя методу Бубнова-Галеркина^{/2/}, будем искать волновую функцию в виде ряда по ϕ_{μ} :

$$\Psi_{\vec{k}}(\vec{r}) = \sum_{\mu} c_{\mu} \phi_{\mu}(\vec{r}), \quad (5)$$

коэффициенты которого определяются, согласно (2), следующим образом:

$$c_{\mu} = \int d\vec{r} f(r) \phi_{\mu}^*(\vec{r}) \Psi_{\vec{k}}(\vec{r}). \quad (6)$$

^{x/} Используется система единиц, в которой $\hbar = M=1, M$ - масса нуклона.

Если в (6) подставить $\Psi_{\vec{k}}(\vec{r}^{\rightarrow})$ в виде правой части уравнения (1), то легко получить для коэффициентов c_{μ} систему линейных алгебраических уравнений:

$$\sum_{\mu} [\delta_{\mu\mu'} - V_{\mu\mu'}(Z)] c_{\mu'}(\vec{k}, Z) = M_{\mu}(\vec{k}), \quad (7)$$

где

$$M_{\mu}(\vec{k}) = \int d\vec{r} f(\vec{r}) \phi_{\mu}^*(\vec{r}) e^{i\vec{k}\vec{r}}, \quad (8)$$

$$V_{\mu\mu'}(Z) = \frac{V}{(2\pi)^3} \int d\vec{p} \frac{M_{\mu}(\vec{p}) M_{\mu'}^*(\vec{p})}{p^2 - Z}. \quad (9)$$

Легко видеть, что при определении c_{μ} разложение (5) используется только в области действия потенциала. Это обстоятельство оправдывает выбор базисных функций в виде (3), так как при не очень больших энергиях волновая функция в пределах потенциала меняется достаточно плавно и может быть хорошо аппроксимирована небольшим числом полиномов. Вне области действия потенциала волновая функция должна определяться с помощью уравнения (1). В частности, из этого уравнения следует, что в импульсном представлении волновую функцию можно записать в следующем виде:

$$\Psi_{\vec{k}}(\vec{p}) = (2\pi)^3 \delta(\vec{p} - \vec{k}) + \frac{4\pi t(\vec{p}, \vec{k}, Z)}{p^2 - Z},$$

где

$$t(\vec{p}, \vec{k}, Z) = \frac{V}{4\pi} \int d\vec{r} e^{-i\vec{p}\vec{r}} f(\vec{r}) \Psi_{\vec{k}}(\vec{r}). \quad (10)$$

С точностью до константы $t(\vec{p}, \vec{k}, Z)$ совпадает с обычным определением парной t -матрицы и удовлетворяет известному интегральному уравнению:

$$t(\vec{p}, \vec{k}, Z) = \frac{V}{4\pi} f(\vec{p} - \vec{k}) + \frac{V}{(2\pi)^3} \int d\vec{p}' \frac{f(\vec{p} - \vec{p}') t(\vec{p}', \vec{k}, Z)}{p'^2 - Z}, \quad (11)$$

где

$$f(\vec{p}) = \int d\vec{r} e^{-i\vec{p}\vec{r}} f(\vec{r}).$$

В выражении (10) можно воспользоваться для $\Psi_{\vec{k}}(\vec{r})$ разложением (5) и получить для t -матрицы следующее приближенное факторизованное выражение:

$$t(\vec{p}, \vec{k}, Z) = \frac{V}{4\pi} \sum_{\mu} M_{\mu}^*(\vec{p}) c_{\mu}(\vec{k}, Z), \quad (12)$$

которое можно распространить на произвольные значения комплексного параметра, входящего в уравнение (11). Если в качестве базисных функций выбраны функции (3), то согласно соотношениям (6)-(9) выражение (12) легко преобразуется к виду:

$$t(\vec{p}, \vec{k}, Z) = \sum_{\ell} (2\ell + 1) t_{\ell}(p, k, Z) P_{\ell}\left(\frac{\vec{p} \cdot \vec{k}}{pk}\right), \quad (13)$$

где

$$t_{\ell}(p, k, Z) = V \sum_{\lambda} M_{\ell\lambda}(p) c_{\ell\lambda}(k, Z), \quad (14)$$

$$M_{\ell\lambda}(p) = \int_0^{\infty} r^2 dr f(r) r^{\ell} L_{\ell}^{\lambda}(r) j_{\ell}(pr), \quad (15)$$

$j_{\ell}(pr)$ - сферическая функция Бесселя. Коэффициенты $c_{\ell\lambda}(k, Z)$ в (14) удовлетворяют следующим системам линейных алгебраических уравнений:

$$\sum_{\lambda'} [\delta_{\lambda\lambda'} - B_{\ell, \lambda\lambda'}(Z)] c_{\ell\lambda'}(k, Z) = M_{\ell\lambda}(k), \quad (16)$$

где

$$B_{\ell, \lambda\lambda'}(Z) = \frac{2V}{\pi} \int_0^{\infty} p'^2 dp' \frac{M_{\ell\lambda}(p) M_{\ell\lambda'}(p')}{p'^2 - Z}. \quad (17)$$

Амплитуда рассеяния $F(\vec{k}', \vec{k})$ связана с t -матрицей (10) следующим образом:

$$F(\vec{k}', \vec{k}) = t(\vec{k}', \vec{k}, E + i0) | k'^2 = k^2 = E,$$

откуда для парциальной амплитуды $F_{\ell}(k)$, согласно (13) и (14), следует:

$$F_{\ell}(k) = V \sum_{\lambda} M_{\ell\lambda}(k) c_{\ell\lambda}(k, k^2 + i0). \quad (18)$$

2. Известно, что t -матрица, являющаяся решением уравнения (11), удовлетворяет условиям симметрии и унитарности^{/4/}, которые для парциальных компонент имеют следующий вид:

$$t_{\ell}(p, k, Z) = t_{\ell}^*(k, p, Z^*), \quad (19)$$

$$t_{\ell}(p, k, s + i0) - t_{\ell}(p, k, s - i0) =$$

$$= 2i\sqrt{s} t_{\ell}(p, \sqrt{s}, s+i0) t_{\ell}(\sqrt{s}, k, s-i0). \quad (20)$$

Легко показать, что приближенное выражение (14) для $t_{\ell}(p, k, z)$ удовлетворяет соотношениям (19) и (20). Действительно, условие (19) совместно с (14) приводит к следующему равенству:

$$\sum_{\lambda} M_{\ell\lambda}(p) c_{\ell\lambda}(k, Z) = \sum_{\lambda} M_{\ell\lambda}(k) c_{\ell\lambda}^*(p, Z^*),$$

которое можно получить непосредственно из системы уравнений (16), если учесть, что согласно (17) $B_{\ell, \lambda\lambda'}$ удовлетворяет условиям:

$$B_{\ell, \lambda\lambda'}(Z) = B_{\ell, \lambda\lambda'}^*(Z^*) = B_{\ell, \lambda'\lambda}(Z).$$

Чтобы показать справедливость соотношения (20) для приближенной t -матрицы, воспользуемся известным представлением сингулярных функций:

$$\frac{1}{p^2 - s \pm i0} = P \frac{1}{p^2 - s} \mp i\pi \delta(p^2 - s),$$

где P означает главное значение, и, кроме того, запишем $c_{\ell\lambda}(p, s \pm i0)$ в виде:

$$c_{\ell\lambda}(p, s \pm i0) = a_{\ell\lambda}(p, s) \pm i b_{\ell\lambda}(p, s). \quad (21)$$

Тогда из (16) и (21) следует, что

$$\sum_{\lambda'} [\Delta_{\lambda\lambda'}(s) a_{\lambda'}(p, s) + V\sqrt{s} M_{\ell\lambda}(\sqrt{s}) M_{\ell\lambda'}(\sqrt{s}) b_{\lambda'}(p, s)] = M_{\ell\lambda}(p),$$

$$\sum_{\lambda'} [\Delta_{\lambda\lambda'}(s) b_{\lambda'}(p, s) - V\sqrt{s} M_{\ell\lambda}(\sqrt{s}) M_{\ell\lambda'}(\sqrt{s}) a_{\lambda'}(p, s)] = 0, \quad (22)$$

где

$$\Delta_{\lambda\lambda'}(s) = \delta_{\lambda\lambda'} - \frac{2V}{\pi} P \int_0^{\infty} dp' \frac{M_{\ell\lambda}(p') M_{\ell\lambda'}(p')}{p'^2 - s}.$$

Из условия (20) и выражений (14) и (21) вытекает следующее равенство:

$$\begin{aligned} \sum_{\lambda} M_{\ell\lambda}(p) b_{\lambda}(k, s) &= V\sqrt{s} \sum_{\lambda\lambda'} M_{\ell\lambda}(\sqrt{s}) M_{\ell\lambda'}(\sqrt{s}) \{ a_{\lambda}(p, s) a_{\lambda'}(p, s) + \\ &+ b_{\lambda}(p, s) b_{\lambda'}(k, s) - i [a_{\lambda}(p, s) b_{\lambda'}(k, s) - a_{\lambda'}(k, s) b_{\lambda}(p, s)] \}, \end{aligned}$$

справедливость которого легко установить с помощью уравнений (22).

3. Волновая функция $\Psi_d(r)$ связанного S -состояния двух нуклонов удовлетворяет однородному интегральному уравнению:

$$\Psi_d(\mathbf{r}) = \frac{V}{(2\pi)^3} \int d\mathbf{p} d\mathbf{r}' \frac{e^{i\mathbf{p}(\mathbf{r}-\mathbf{r}')}}{p^2 + \alpha^2} f(\mathbf{r}') \Psi_d(\mathbf{r}'), \quad (23)$$

где α^2 - энергия связи дейтрона. Если разложить $\Psi_d(\mathbf{r})$ по базисным функциям (3) с $\ell = 0$, то для определения коэффициентов разложения $c_{0\lambda}$ вместо (16) получится однородная система линейных алгебраических уравнений:

$$\sum_{\lambda'} [\delta_{\lambda\lambda'} - V_{0,\lambda\lambda'}(-\alpha^2)] c_{0\lambda}(-\alpha^2) = 0. \quad (24)$$

Эта система уравнений имеет нетривиальное решение, если ее определитель равен нулю:

$$|\delta_{\lambda\lambda'} - V_{0,\lambda\lambda'}(-\alpha^2)| = 0. \quad (25)$$

Условие (25) можно рассматривать как уравнение для собственного значения α^2 . Это условие приводит также к появлению полюса при $Z = -\alpha^2$ в S -компоненте t -матрицы (14). Из уравнения (23) легко получить, по аналогии с выводом выражения (12) волновую функцию дейтрона в импульсном представлении:

$$\Psi_d(\mathbf{p}) = \frac{N}{p^2 + \alpha^2} \sum_{\lambda} c_{0\lambda}(-\alpha^2) M_{0\lambda}(\mathbf{p}), \quad (26)$$

где N - нормировочная константа. Выражение (26) фактически представляет собой приближение по степеням αr_0 , где r_0 - радиус взаимодействия, так как из определения (15) $M_{\ell\lambda}(\mathbf{p})$ и из свойств ортогональных полиномов $L_{\ell\lambda}(r)$ следует, что в разложении $M_{0\lambda}(\mathbf{p})$ по степеням p наинизшая степень будет не меньше, чем λ , а в волновой функции дейтрона существенны импульсы порядка α . Аналогично при $k \geq \alpha$ выражение (18) для амплитуды рассеяния справедливо с точностью до $(kr_0)^n$, где n - максимальный порядок используемых полиномов. При $k < \alpha$ поведение волновой функции определяется в основном наличием близкого уровня, и в этом случае, как и для связанного состояния, параметром разложения будет αr_0 .

4. Рассмотрим более подробно решение задачи двух нуклонов в S -состоянии в нулевом приближении метода Бубнова-Галеркина. В этом случае в разложении (5) используется только одна базисная функция (3) с $\ell = \lambda = 0$. Это означает, что в области действия потенциала волновая функция аппроксимируется константой - средним значением функции по области потенциала. Согласно выражениям (14), (16) и (26), S -компонента t -матрицы и волновая функция дейтрона в нулевом приближении имеют соответственно следующий вид (индекс $\ell = 0$ ниже указываться не будет):

$$t(p, k, Z) = V \frac{M_0(p) M_0(k)}{1 - B_{00}(Z)}, \quad (27)$$

$$\Psi_d(p) = N \frac{M_0(p)}{p^2 + \alpha^2}, \quad (28)$$

где

$$B_{00}(Z) = \frac{2V}{\pi} \int_0^{\infty} p^2 dp \frac{M_0^2(p)}{p^2 - Z}, \quad (29)$$

$$\frac{1}{N^2} = \frac{1}{2\pi^2} \int_0^{\infty} p^2 dp \frac{M_0^2(p)}{(p^2 + \alpha^2)^2}, \quad (30)$$

а из условия (25) следует соотношение:

$$1 = \frac{2V}{\pi} \int_0^{\infty} p^2 dp \frac{M_0^2(p)}{p^2 + \alpha^2}. \quad (31)$$

Решение в нулевом приближении метода Бубнова-Галеркина (27)-(31) совпадает с точным решением задачи двух нуклонов, взаимодействие которых описывается нелокальным факторизующимся потенциалом Ямагучи, имеющим в импульсном представлении вид $g(p)g(p')$ ^{/3/}. Такое совпадение объясняется тем, что введение потенциала Ямагучи формально можно рассматривать как приближенное решение уравнения Шредингера в импульсном представлении путем замены локального потенциала $t(|\vec{p} - \vec{p}'|)$ приближенным факторизованным выражением $g(p)g(p')$. В то же время из теории интегральных уравнений известно, что при соответствующем выборе базисных функций метод Бубнова-Галеркина и метод приближенной факторизации ядра приводят к одному и тому же приближенному решению^{/5/}. Решение в нулевом приближении справедливо с точностью включительно до членов, линейных по радиусу взаимодействия r_0 , так как в выражениях (14) и (26) вклад членов с $\lambda \geq 1$ при $pr_0 < 1$ будет порядка $(pr_0)^2$ и меньше. Поэтому из выражений (27)-(31) можно легко получить известные разложения для t -матрицы и волновой функции дейтрона в линейном приближении по r_0 ^{/6/}. Для этого заметим, что с точностью до членов порядка r_0^2 имеем:

$$M_0(p) = 1/L_0. \quad (32)$$

Далее подставим в выражения (29)-(31) в явном виде $M_0(p)$ согласно определению (15) и проинтегрируем по p . После этого легко получить следующие разложения:

$$B_{00}(E + i0) = \frac{VL_0^2}{2} (I_1 + \frac{i}{2} \sqrt{E} I_2 - \frac{1}{6} EI_3 + \dots), \quad (33)$$

$$\frac{1}{N^2} = \frac{L_0^2}{16\pi\alpha} (\frac{1}{2} I_2 - \frac{\alpha}{3} I_3 + \dots), \quad (34)$$

$$1 = \frac{VL_0^2}{2} (I_1 - \frac{\alpha}{2} I_2 + \frac{\alpha^2}{6} I_3 - \dots), \quad (35)$$

где

$$I_n = \int_0^\infty r dr f(r) \int_0^\infty r' dr' f(r') [(r+r')^n - |r-r'|^n].$$

Если теперь воспользоваться выражениями (32) - (35) и разложением для S -фазы рассеяния

$$k \operatorname{ctg} \delta = i^{-1} (k, k, k^2 + i0) + ik = -\frac{1}{a} + \frac{1}{2} r_0 k^2 - \dots,$$

где a - длина рассеяния, то для триплетной t -матрицы и волновой функции дейтрона можно получить следующие выражения, справедливые в линейном приближении по r_0

$$t(p, k, E + i0) = \frac{1}{-(a + i\sqrt{E}) + \frac{1}{2} r_0 (\alpha^2 + E)}, \quad (36)$$

$$\Psi_d(p) = 2\sqrt{2\pi\alpha} (1 + \frac{1}{2} r_0 \alpha) \frac{1}{p^2 + \alpha^2}. \quad (37)$$

5. Существенным моментом в применении метода Бубнова-Галеркина является вопрос о его сходимости. В^{1/2} доказывається, что этот метод применительно к интегральным уравнениям является сходящимся процессом, если ядра интегральных уравнений квадратично интегрируемы и определены в пространстве квадратично интегрируемых функций. Простая замена функции $\sqrt{f} \Psi = \Psi'$ в уравнении (1) и соответствующее переопределение $\sqrt{f} \phi_\mu = \phi'_\mu$ базисных функций не изменят полученных выше решений, причем в этом случае условие квадратичной интегрируемости ядра $K(\vec{r}, \vec{r}')$, определяемого выражением

$$K(\vec{r}, \vec{r}') = [f(r)f(r')]^{1/2} \int d\vec{p} \frac{e^{i\vec{p}(\vec{r}-\vec{r}')}}{p^2 - Z},$$

будет выполнено, если будет ограничен следующий интеграл:

$$J = \int d\vec{p} d\vec{p}' \frac{|f(\vec{p}-\vec{p}')|^2}{(p^2 - Z)(p'^2 - Z^*)}.$$

Этот интеграл может быть оценен с помощью неравенства Коши-Буняковского следующим образом:

$$J \leq \int d\vec{p} |t(\vec{p})|^2 \cdot \int \frac{d\vec{p}'}{|p'^2 - Z|^2} .$$

т.е. J ограничено, если при $\text{Re } Z > 0$ $\text{Im } Z \neq 0$, а потенциал $f(r)$ удовлетворяет условию:

$$\int d\vec{r} f^2(r) = \text{const} . \quad (38)$$

В этом случае приближенное решение $\Psi_{\vec{k}}^{(n)}$ уравнения (1) сходится при увеличении порядка приближения n к точному решению $\Psi_{\vec{k}}$ в среднем:

$$\int d\vec{r} f(r) |\Psi_{\vec{k}}(\vec{r}) - \Psi_{\vec{k}}^{(n)}(\vec{r})|^2 \rightarrow 0, \quad n \rightarrow \infty .$$

Для t -матрицы согласно (10) на основании неравенства Коши-Буняковского можно написать:

$$|t(\vec{p}, \vec{k}, Z) - t^{(n)}(\vec{p}, \vec{k}, Z)|^2 \leq M ,$$

где

$$M = \left(\frac{V}{4\pi}\right)^2 \int d\vec{r} f(r) \cdot \int d\vec{r}' f(r') |\Psi_{\vec{k}}(\vec{r}') - \Psi_{\vec{k}}^{(n)}(\vec{r}')|^2 ,$$

причем $M \rightarrow 0$ при $n \rightarrow \infty$, если конечен интеграл $\int d\vec{r} f^2(r)$ и если при $\text{Re } Z > 0$ $\text{Im } Z \neq 0$. Это условие сходимости имеет место и в предельном случае $\text{Im } Z \rightarrow 0$, так как t -матрица, удовлетворяющая уравнению (11), является непрерывной функцией параметра Z /4/.

§ 3. Конкретный пример: потенциал Юкавы

Основной целью решения задачи двух нуклонов, взаимодействие которых описывается некоторым феноменологическим потенциалом $U(r)$, является установление связи между параметрами потенциала и такими величинами, как энергия связанного состояния α^2 , длина рассеяния a , эффективный радиус взаимодействия r_0 и т.д. /7/. В качестве примера применения метода Бубнова-Галеркина рассмотрим потенциал Юкавы:

$$U(r) = -V \frac{e^{-\beta r}}{\beta r} . \quad (39)$$

причем ограничимся только S -состоянием и будем использовать систему единиц, в которой $\beta = 1$. Для удобства будем также опускать индекс $\ell = 0$.

В этом случае $f(r) = e^{-r}/r$ и из условия (4) ортогональности полиномов $L_{\lambda}(r)$ следует, что они с точностью до константы совпадают с полиномами Лаггера $\mathcal{P}_{\lambda}^1(r)$ /8/:

$$L_{\lambda}(r) = [\lambda!(\lambda+1)!]^{-1} \mathcal{L}_{\lambda}^1(r). \quad (40)$$

Согласно (14) $M_{\lambda}(p)$ выражаются следующим образом:

$$M_{\lambda}(p) = \frac{1}{p} [\lambda!(\lambda+1)!]^{-1} \int_0^{\infty} dr e^{-r} \mathcal{L}_{\lambda}^1(r) \sin pr.$$

В частности, для первых двух приближений $\lambda = 0, 1$ имеем:

$$M_0(p) = \frac{1}{1+p^2}, \quad M_1(p) = \sqrt{2} \frac{p}{(1+p^2)^2}, \quad (41)$$

соответственно из выражения (17) следует:

$$B_{00}(k^2 + i0) = \frac{V}{2(1-ik)^2},$$

$$B_{01}(k^2 + i0) = B_{10}(k^2 + i0) = \frac{V(1-3ik)}{4\sqrt{2}(1-ik)^3}, \quad (42)$$

$$B_{11}(k^2 + i0) = \frac{V(1-4ik-5k^2)}{8(1-ik)^4},$$

$$B_{\lambda\lambda}(-\alpha^2) = B_{\lambda\lambda}(k^2 + i0) | k = i\alpha.$$

Связь величин, характеризующих рассеяние, с параметрами потенциала можно получить, если сопоставить разложение амплитуды рассеяния (18) по степеням k с известным разложением S -фазы:

$$k \operatorname{ctg} \delta = F^{-1}(k) + ik = -\frac{1}{a} + \frac{1}{2} r_0 k^2 - \dots$$

Тогда, используя выражения (41) и (42), легко получить для первых двух приближений следующие выражения для длины рассеяния a и эффективного радиуса r_0 : нулевое приближение ($\lambda = 0$)

$$\frac{1}{a} = \frac{V-2}{2V}, \quad r_0 = \frac{4+V}{V}; \quad (43)$$

первое приближение ($\lambda = 0, 1$)

$$\frac{1}{a} = -\frac{32 - 20V + V^2}{4V(8-V)}, \quad (44)$$

$$r_0 = \frac{1}{V(8-V)} [64 - 18V - 3V^2 + \frac{2V}{a}(16+V)].$$

Соответственно из (24)–(26) вытекают следующие выражения для волновой функции дейтрона и уравнения для α .

Нулевое приближение:

$$\Psi_d(p) = \frac{N_0}{(p^2 + \alpha^2)(p^2 + 1)}, \quad (45)$$

$$V - 2(1 + \alpha)^2 = 0;$$

первое приближение:

$$\Psi_d(p) = \frac{N_0}{N_1(p^2 + \alpha^2)(p^2 + 1)} \left[1 + \epsilon \frac{p^2}{p^2 + 1} \frac{4(1+\alpha)}{1+3\alpha} \right], \quad (46)$$

$$V^2 - 4V(5 + 12\alpha + 9\alpha^2) + 32(1 + \alpha)^4 = 0,$$

где

$$N_0 = [8\pi\alpha(1 + \alpha)^3]^{1/2},$$

$$N_1 = \left[1 + \frac{6\alpha\epsilon}{1 + 3\alpha} + \frac{2\alpha(1 + 5\alpha)\epsilon^2}{(1 + 3\alpha)^2} \right]^{1/2},$$

$$\epsilon = \frac{2(1 + \alpha)^2 - V}{V}.$$

Для потенциала (39) были вычислены энергия связи двух нуклонов α^2 , длина рассеяния a и эффективный радиус r_0 для ряда приближений метода Бубнова-Галеркина. Результаты иллюстрируются рис. 1–3. На рис. 1 изображены графики зависимости глубины потенциала V от α (в единицах энергии $\hbar^2 \beta^2 / M$), а на рис. 2 и 3 – соответственно графики зависимостей a и r_0 (в единицах $1/\beta$) от V . Индексы $n = 0, 1, 2, 3$ указывают порядок приближения, т.е. максимальный порядок используемых полиномов (40). На всех рисунках пунктирные линии соответствуют результатам работы ^{17/}. В таблице 1 приведены также значения глубины потенциала V_0 , соответствующего нулевой энергии связи двух нуклонов, причем в последнем столбце указано значение, взятое из работы ^{17/}.

§ 4. Заключение

В методе Бубнова-Галеркина выбор базисных функций в достаточной степени произволен. В § 2 были выбраны базисные функции (3) с простой радиальной зависимостью в виде ортогональных полиномов, вид которых однозначно определяется формой потенциала. Из рис. 1–3 и таблицы 1 видно, что в этом случае использование даже небольшого числа полиномов дает результаты, близкие к результатам работы ^{17/}, которые обычно служат основой при анализе нуклон-нуклонного взаимодействия при малых энергиях. С этой точки зрения можно считать, что в данном случае метод Бубнова-Галеркина обладает достаточно хорошей сходимостью.

Метод Бубнова-Галеркина в задаче двух нуклонов можно рассматривать как метод построения для данного потенциала $U(r)$ некоторого нелокального факторизующегося потенциала, который содержит то же самое число параметров, что и исходный потенциал $U(r)$. Действительно, если непосредственно в уравнении Шредингера в импульсном представлении локальный потенциал $f(\vec{p} - \vec{p}')$ заменить нелокальным $f(\vec{p}, \vec{p}') = \sum_{\mu} M_{\mu}^*(\vec{p}) M_{\mu}(\vec{p}')$, то легко прийти к результатам (12), (25) и (26). Обычно рассматриваются феноменологические потенциалы, содержащие два параметра - глубину и радиус, которые определяются из следующих экспериментальных величин: энергии связи дейтрона, триплетной и синглетной длин рассеяния, синглетного эффективного радиуса. Для некоторого порядка приближения n параметры потенциала могут быть определены с помощью графиков, изображенных на рис. 1-3. Тогда из (13) и (14) следуют соответствующие приближенные выражения для t -матрицы вне энергетической поверхности. Факторизованные выражения (13)-(14) для t -матрицы можно непосредственно использовать в интегральных уравнениях Фаддеева^{/9/} для трех нуклонов. В этом случае система многомерных интегральных уравнений Фаддеева сводится к системе одномерных интегральных уравнений, решение которой при наличии электронных вычислительных машин вполне доступно.

В заключение автор выражает благодарность В.И. Фурману и И.И. Шелонцеву за выполнение численных расчетов.

Т а б л и ц а 1

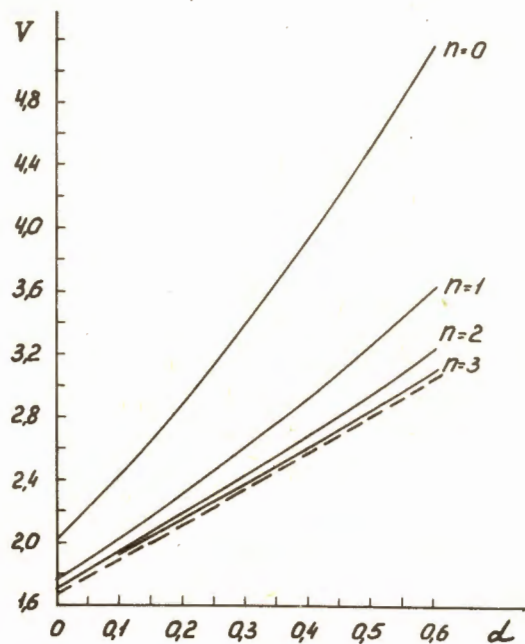
Значения глубины потенциала V_0 , соответствующего нулевой энергии связи, в зависимости от порядка приближения n . Значение в последнем столбце взято из работы^{/7/}.

n	0	1	2	3	
V_0	2	1,754	1,702	1,687	1,683

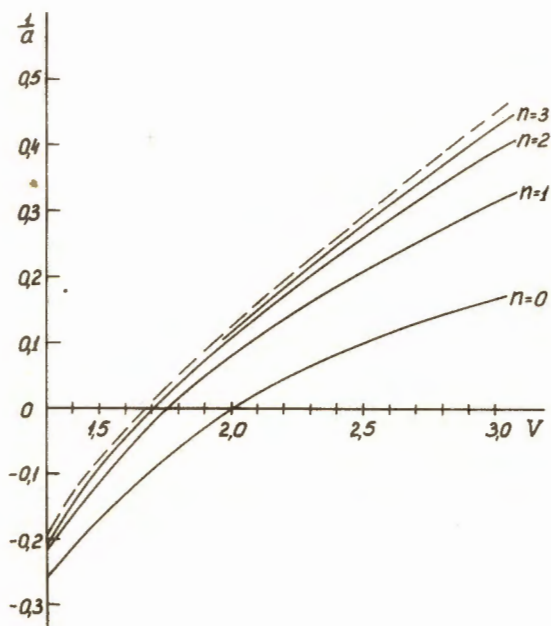
Л и т е р а т у р а

1. V.N. Efimov. Comptes Rendus du Congrès International de Physique Nucleaire, v. II, Paris, 1964.
2. С.Г. Михлин. Вариационные методы в математической физике. ГИТТЛ, Москва, 1957.
3. Y. Yamaguchi. Phys. Rev., 95, 1628 (1954).
4. Л.Д. Фаддеев. Труды математического института АН СССР, 69, 1963.
5. Л.В. Канторович и В.И. Крылов. Приближенные методы высшего анализа. ГИТТЛ, Москва, 1952.
6. Г.С. Данилов. ЖЭТФ, 43, 1424 (1962).
7. J.M. Blatt and J.D. Jackson. Phys. Rev., 26, 18 (1949).
8. И.М. Рыжик и И.С. Градштейн. Таблицы интегралов, сумм, рядов и произведений, ГИТТЛ, Москва, 1951.
9. Л.Д. Фаддеев. ЖЭТФ, 39, 1459 (1960).

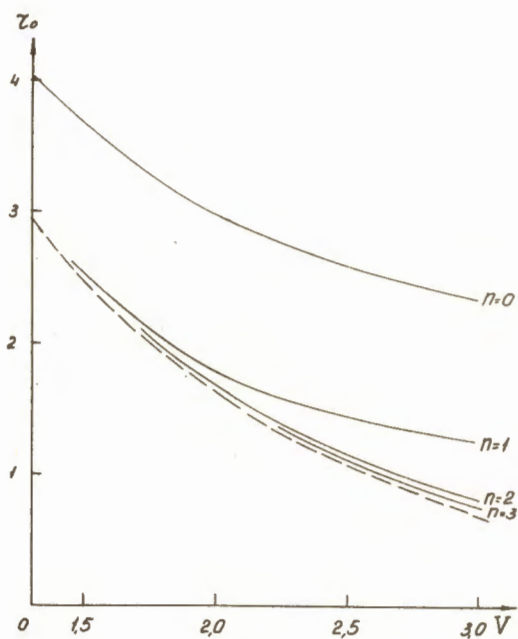
Рукопись поступила в издательский отдел
14 15 января 1966 г.



Р и с. 1. Зависимость глубины потенциала V от энергии связи ϵ^2 (в единицах энергии $\hbar^2 \beta^2 / M$). Индекс n указывает порядок приближения. Пунктирная кривая соответствует результатам работы [7].



Р и с. 2. Зависимость $1/a$ от глубины потенциала V , a — длина рассеяния в единицах $1/\beta$ (см. подпись к рис. 1).



Р и с. 3. Зависимость эффективного радиуса r_0 в единицах $1/\beta$ от глубины потенциала V (см. подпись к рис. 1).